

Écoulement dans un canal aux parois déformées

- Canal bidimensionnel avec déformations des parois
- Analyse de Smith. Équivalent de la triple couche en écoulement de canal
- Analyse régulière de Mauss dans le plan (α, β)
- Modèle de couche limite interactive
- Extension avec courbure du canal

Analyse de F.T. Smith

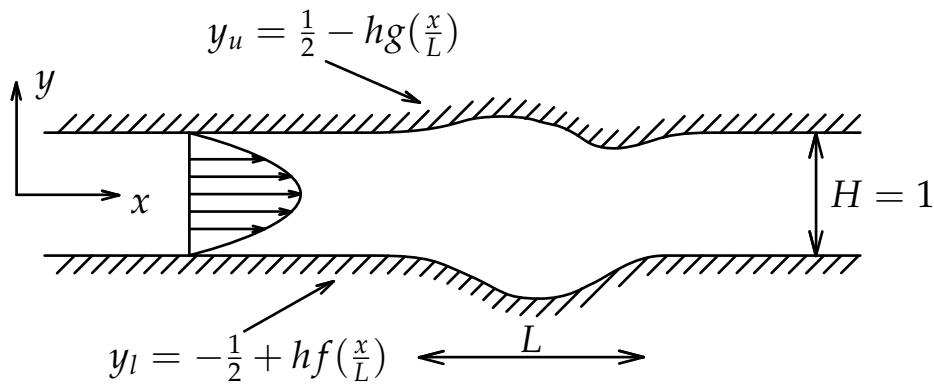


FIGURE 29 - Analyse asymptotique régulière de l'écoulement dans un canal avec des parois déformées

Écoulement de base : Poiseuille

$$u_0 = \frac{1}{4} - y^2$$

Déformation

hauteur $h = \varepsilon$

longueur $L = \varepsilon^{-\alpha} ; \alpha > 0$

$$\varepsilon = R^{-1/(\alpha+3)} ; R = \frac{u_0 H^*}{\nu}$$

$$L = R^{\alpha/(\alpha+3)} ; h = R^{-1/(\alpha+3)} ; \frac{h}{L} = R^{-(\alpha+1)/(\alpha+3)}$$

Deux cas importants

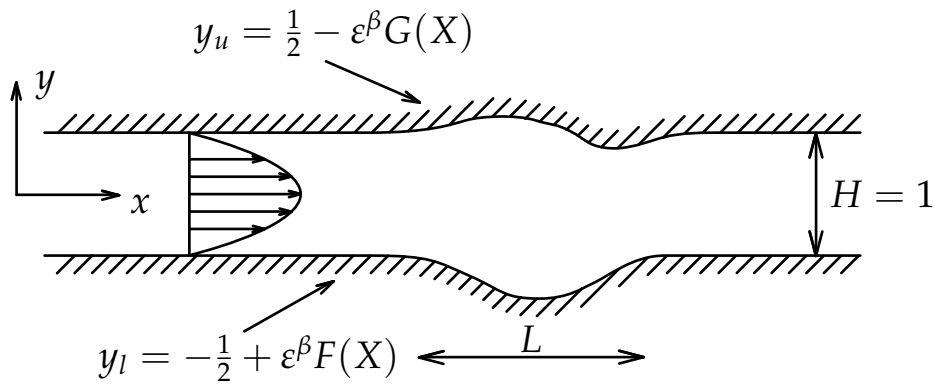
- $\alpha > \frac{1}{2}$ donc $R^{-1} \prec \frac{h}{L} \prec R^{-3/7}$

pression constante dans une section, décollement possible, pas d'influence amont

- $\alpha = \frac{1}{2} ; L = R^{1/7} ; h = R^{-2/7} ; \frac{h}{L} = R^{-3/7}$

décollement possible, influence amont d'étendue $R^{1/7}$

Analyse régulière détaillée



Étendue longitudinale de la déformation

$$X = x\varepsilon^\alpha$$

Petit paramètre

$$\varepsilon = R^{-1/m}$$

Contraintes

- problème de perturbation singulière si $\alpha < m$
- problème de couche limite si pente de la bosse telle que $\beta + \alpha > 0$
- termes visqueux et inertiels du même ordre si $3\beta = m - \alpha$
- épaisseur de couche limite = ε^β

dans la couche limite $u_0 = O(\varepsilon^\beta)$

décollement possible si la vitesse est d'ordre ε^β

Développements réguliers

- Dans la couche limite

$$\begin{aligned} \mathcal{U} &= \varepsilon^{(m-\alpha)/3} U_1(X, Y) \\ \mathcal{V} &= \varepsilon^{(2m+\alpha)/3} V_1(X, Y) \quad Y = (y + 1/2) / \varepsilon^\beta \\ \mathcal{P} - p_c &= \varepsilon^{(2m-2\alpha)/3} P_1(X, Y) \end{aligned}$$

- Dans le cœur

$$\begin{aligned} \mathcal{U} &= u_0(y) + \varepsilon^r u_1(X, y) \\ \mathcal{V} &= \varepsilon^{r+\alpha} v_1(X, y) \\ \mathcal{P} - p_c &= -2\varepsilon^{m-\alpha} X + \varepsilon^{(2m-2\alpha)/3} p_1(X, y) \end{aligned}$$

Raccord sur la pression assuré.

Équations

$$\begin{aligned} \frac{\partial U_1}{\partial X} + \frac{\partial V_1}{\partial Y} &= 0 \\ U_1 \frac{\partial U_1}{\partial X} + V_1 \frac{\partial U_1}{\partial Y} &= -\frac{\partial P_1}{\partial X} + \frac{\partial^2 U_1}{\partial Y^2} \\ \frac{\partial P_1}{\partial Y} &= 0 \end{aligned}$$

$$\begin{aligned} \frac{\partial u_1}{\partial X} + \frac{\partial v_1}{\partial y} &= 0 \\ u_0 \frac{\partial u_1}{\partial X} + v_1 \frac{du_0}{dy} &= -\varepsilon^{2(m-\alpha)/3-r} \frac{\partial p_1}{\partial X} \\ u_0 \frac{\partial v_1}{\partial X} &= -\varepsilon^{2(m-4\alpha)/3-r} \frac{\partial p_1}{\partial y} \end{aligned}$$

Cas significatifs

$$\begin{aligned} \frac{\partial u_1}{\partial X} + \frac{\partial v_1}{\partial y} &= 0 \\ u_0 \frac{\partial u_1}{\partial X} + v_1 \frac{du_0}{dy} &= -\varepsilon^{2(m-\alpha)/3-r} \frac{\partial p_1}{\partial X} \\ u_0 \frac{\partial v_1}{\partial X} &= -\varepsilon^{2(m-4\alpha)/3-r} \frac{\partial p_1}{\partial y} \end{aligned}$$

- Si $r < \frac{2(m-\alpha)}{3}$ solution non triviale dans le cœur

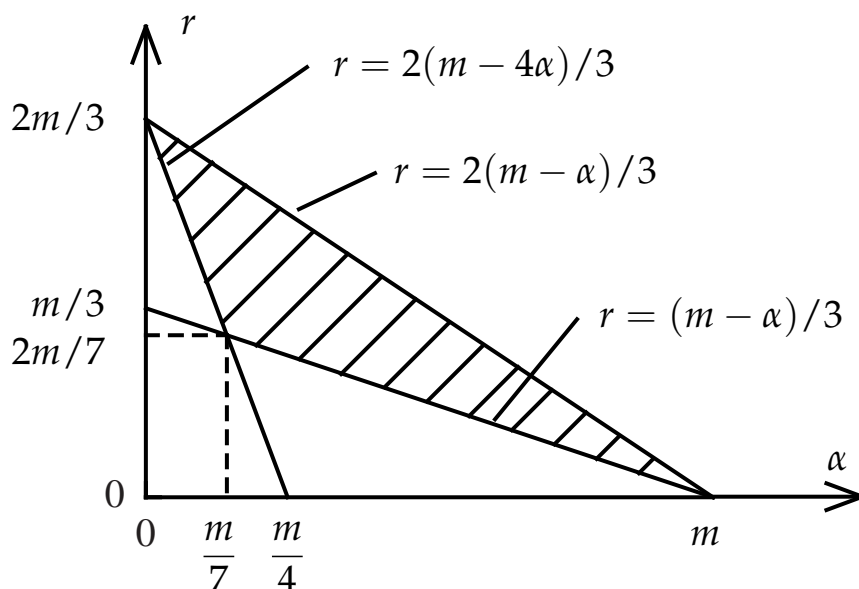
$$u_1 = A(X) \frac{du_0}{dy} \quad ; \quad v_1 = -\frac{dA}{dX} u_0$$

- Si $r = \frac{2(m-4\alpha)}{3}$

$$u_0 \frac{\partial v_1}{\partial X} = -\frac{\partial p_1}{\partial y}$$

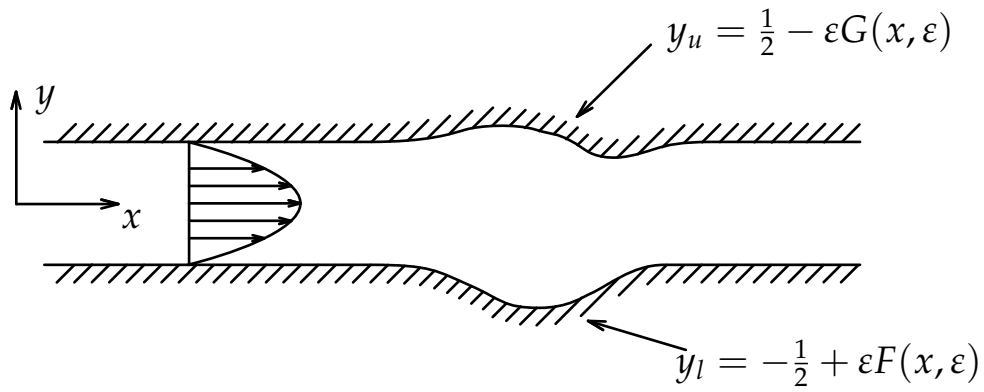
$$p_1(X, y) = P_1(X) + \frac{A''(X)}{60} \left(12y^5 - 10y^3 + \frac{15}{4}y + 1 \right)$$

- Si $r < \frac{m-\alpha}{3}$ alors $A = 0$ (raccord sur u).



Point significatif $\alpha = \frac{m}{7} \quad ; \quad \beta = \frac{2m}{7}$

Couche limite interactive



Épaisseur de couche limite = ε

Approximation dans le cœur

$$\begin{aligned} \mathcal{U} &= u_0(y) + \varepsilon^r u(x, y, \varepsilon) \\ \mathcal{V} &= \varepsilon^r v(x, y, \varepsilon) \\ \mathcal{P} - p_c &= -\frac{2x}{\mathcal{R}} + \varepsilon^s p(x, y, \varepsilon) \end{aligned}$$

Équations de Navier-Stokes

$$\begin{aligned} \frac{\partial u}{\partial x} + \frac{\partial v}{\partial y} &= 0 \\ \varepsilon^r \left(u \frac{\partial u}{\partial x} + v \frac{\partial u}{\partial y} \right) + u_0 \frac{\partial u}{\partial x} + v \frac{du_0}{dy} &= -\varepsilon^{s-r} \frac{\partial p}{\partial x} + \frac{1}{\mathcal{R}} \left(\frac{\partial^2 u}{\partial x^2} + \frac{\partial^2 u}{\partial y^2} \right) \\ \varepsilon^r \left(u \frac{\partial v}{\partial x} + v \frac{\partial v}{\partial y} \right) + u_0 \frac{\partial v}{\partial x} &= -\varepsilon^{s-r} \frac{\partial p}{\partial y} + \frac{1}{\mathcal{R}} \left(\frac{\partial^2 v}{\partial x^2} + \frac{\partial^2 v}{\partial y^2} \right) \end{aligned}$$

Nécessairement, $s \geq r$. Avec des développements généralisés, on peut prendre $s = r$.

Développements généralisés dans le cœur

$$u = u_1(x, y, \varepsilon) + \dots$$

$$v = v_1(x, y, \varepsilon) + \dots$$

$$p = p_1(x, y, \varepsilon) + \dots$$

Équations dans le cœur si on néglige les termes d'ordre $O(\varepsilon^r, \frac{1}{R})$

$$\begin{aligned}\frac{\partial u_1}{\partial x} + \frac{\partial v_1}{\partial y} &= 0 \\ u_0 \frac{\partial u_1}{\partial x} + v_1 \frac{du_0}{dy} &= -\frac{\partial p_1}{\partial x} \\ u_0 \frac{\partial v_1}{\partial x} &= -\frac{\partial p_1}{\partial y}\end{aligned}$$

Solution au voisinage de la paroi $y = -1/2$

$$u_1 = -2p_{10} \ln \left(\frac{1}{2} + y \right) + c_{10} + \dots$$

$$\begin{aligned}v_1 &= -p_{10x} + 2p_{10x} \left(\frac{1}{2} + y \right) \ln \left(\frac{1}{2} + y \right) \\ &\quad - \left(\frac{1}{2} + y \right) (2p_{10x} + c_{10x}) + \dots\end{aligned}$$

$$p_1 = p_{10} + \frac{1}{2} \left(\frac{1}{2} + y \right)^2 p_{10xx} + \dots$$

Présence de termes logarithmiques, mais pas de problème avec la MASC.

Différentes approximations pour le cœur

Modèle non linéaire

$$\begin{aligned}\frac{\partial u_1}{\partial x} + \frac{\partial v_1}{\partial y} &= 0 \\ \varepsilon \left(u_1 \frac{\partial u_1}{\partial x} + v_1 \frac{\partial u_1}{\partial y} \right) + u_0 \frac{\partial u_1}{\partial x} + v_1 \frac{\partial u_0}{\partial y} &= -\frac{\partial p_1}{\partial x} \\ \varepsilon \left(u_1 \frac{\partial v_1}{\partial x} + v_1 \frac{\partial v_1}{\partial y} \right) + u_0 \frac{\partial v_1}{\partial x} &= -\frac{\partial p_1}{\partial y}\end{aligned}$$

Modèle linéaire

$$\begin{aligned}\frac{\partial u_1}{\partial x} + \frac{\partial v_1}{\partial y} &= 0 \\ u_0 \frac{\partial u_1}{\partial x} + v_1 \frac{\partial u_0}{\partial y} &= -\frac{\partial p_1}{\partial x} \\ u_0 \frac{\partial v_1}{\partial x} &= -\frac{\partial p_1}{\partial y}\end{aligned}$$

Modèle simplifié (déformations longues)

$$\begin{aligned}\frac{\partial u_1}{\partial x} + \frac{\partial v_1}{\partial y} &= 0 \\ u_0 \frac{\partial u_1}{\partial x} + v_1 \frac{\partial u_0}{\partial y} &= 0 \\ u_0 \frac{\partial v_1}{\partial x} &= -\frac{\partial p_1}{\partial y}\end{aligned}$$

Approximation uniformément valable

Variables de couche limite

$$Y = \frac{\frac{1}{2} + y}{\varepsilon}$$
$$\hat{Y} = \frac{\frac{1}{2} - y}{\varepsilon}$$

Dans la couche limite, $u_0 = O(\varepsilon)$ d'où $r = 1$ de sorte que $u_0 + \varepsilon u$ peut être négatif

$$\mathcal{U} = u_0(y) + \varepsilon u(x, y, \varepsilon)$$
$$\mathcal{V} = \varepsilon v(x, y, \varepsilon)$$
$$\mathcal{P} - p_c = -\frac{2x}{\mathcal{R}} + \varepsilon p(x, y, \varepsilon)$$

Approximation uniformément valable

$$u = U_1(x, Y, \varepsilon) + \hat{U}_1(x, \hat{Y}, \varepsilon) + u_1(x, y, \varepsilon)$$
$$v = \varepsilon V_1(x, Y, \varepsilon) - \varepsilon \hat{V}_1(x, \hat{Y}, \varepsilon) + v_1(x, y, \varepsilon)$$
$$p = \Delta(\varepsilon)P_1(x, Y, \varepsilon) + \Delta(\varepsilon)\hat{P}_1(x, \hat{Y}, \varepsilon) + p_1(x, y, \varepsilon)$$

Conditions aux limites

$$Y \rightarrow \infty : U_1 \rightarrow 0 , V_1 \rightarrow 0$$

$$\hat{Y} \rightarrow \infty : \hat{U}_1 \rightarrow 0 , \hat{V}_1 \rightarrow 0$$

Le long des parois

$$Y = F(x, \varepsilon) : u_0 + \varepsilon u = 0 , v = 0$$

$$\hat{Y} = G(x, \varepsilon) : u_0 + \varepsilon u = 0 , v = 0$$

soit

$$Y = F(x, \varepsilon) : u_0 + \varepsilon U_1 + \varepsilon u_1 = 0 , \varepsilon V_1 + v_1 = 0$$

$$\hat{Y} = G(x, \varepsilon) : u_0 + \varepsilon \hat{U}_1 + \varepsilon u_1 = 0 , -\varepsilon \hat{V}_1 + v_1 = 0$$

Modèle de couche limite interactive

Équations du cœur, seuls les termes $O\left(\frac{1}{R}\right)$ sont négligés

$$\begin{aligned}\mathcal{U} &= u_0(y) + \varepsilon u_1(x, y, \varepsilon) \\ \mathcal{V} &= \varepsilon v_1(x, y, \varepsilon) \\ \mathcal{P} - p_c &= -\frac{2x}{\mathcal{R}} + \varepsilon p_1(x, y, \varepsilon)\end{aligned}$$

$$\begin{aligned}\frac{\partial u_1}{\partial x} + \frac{\partial v_1}{\partial y} &= 0 \\ \varepsilon \left(u_1 \frac{\partial u_1}{\partial x} + v_1 \frac{\partial u_1}{\partial y} \right) + u_0 \frac{\partial u_1}{\partial x} + v_1 \frac{du_0}{dy} &= -\frac{\partial p_1}{\partial x} \\ \varepsilon \left(u_1 \frac{\partial v_1}{\partial x} + v_1 \frac{\partial v_1}{\partial y} \right) + u_0 \frac{\partial v_1}{\partial x} &= -\frac{\partial p_1}{\partial y}\end{aligned}$$

Équations de couche limite généralisées

$$\begin{aligned}u &= U_1(x, Y, \varepsilon) + \widehat{U}_1(x, \widehat{Y}, \varepsilon) + u_1(x, y, \varepsilon) \\ v &= \varepsilon V_1(x, Y, \varepsilon) - \varepsilon \widehat{V}_1(x, \widehat{Y}, \varepsilon) + v_1(x, y, \varepsilon) \\ p &= \Delta(\varepsilon) P_1(x, Y, \varepsilon) + \Delta(\varepsilon) \widehat{P}_1(x, \widehat{Y}, \varepsilon) + p_1(x, y, \varepsilon)\end{aligned}$$

D'après l'équation de quantité de mouvement suivant y

$$\boxed{\Delta = \varepsilon^3}$$

Termes visqueux et inertiels du même ordre

$$\boxed{\varepsilon = R^{-1/3}}$$

$$\begin{aligned}\frac{\partial u}{\partial x} + \frac{\partial v}{\partial y} &= 0 \\ \varepsilon \left(u \frac{\partial u}{\partial x} + v \frac{\partial u}{\partial y} \right) + u_0 \frac{\partial u}{\partial x} + v \frac{du_0}{dy} &= -\frac{\partial p_1}{\partial x} + \frac{1}{\mathcal{R}} \frac{\partial^2 u}{\partial y^2}\end{aligned}$$

Autre forme du modèle

On pose

$$\begin{aligned}\tilde{u} &= u_0 + \varepsilon u \\ \tilde{v} &= \varepsilon v \\ \tilde{p}_1 &= -\frac{2x}{\mathcal{R}} + \varepsilon p_1 + p_c\end{aligned}$$

Équations de couche limite généralisées

$$\begin{aligned}\frac{\partial \tilde{u}}{\partial x} + \frac{\partial \tilde{v}}{\partial y} &= 0 \\ \tilde{u} \frac{\partial \tilde{u}}{\partial x} + \tilde{v} \frac{\partial \tilde{u}}{\partial y} &= -\frac{\partial \tilde{p}_1}{\partial x} + \frac{1}{\mathcal{R}} \frac{\partial^2 \tilde{u}}{\partial y^2}\end{aligned}$$

+ équations du cœur

Conditions aux parois

$$\tilde{u} = 0 \quad ; \quad \tilde{v} = 0$$

+conditions de compatibilité entre la solution du cœur et la solution des équations de couche limite généralisées.

Modèle simplifié pour le cœur

$$\begin{aligned}\frac{\partial(\tilde{u}_1 - u_0)}{\partial x} + \frac{\partial \tilde{v}_1}{\partial y} &= 0 \\ u_0 \frac{\partial(\tilde{u}_1 - u_0)}{\partial x} + \tilde{v}_1 \frac{du_0}{dy} &= 0 \\ u_0 \frac{\partial \tilde{v}_1}{\partial x} &= -\frac{\partial}{\partial y} \left(\tilde{p}_1 + \frac{2x}{\mathcal{R}} \right)\end{aligned}$$

Solution

$$\begin{aligned}\tilde{u}_1 - u_0 &= \tilde{A}(x) \frac{du_0}{dy} \\ \tilde{v}_1 &= -\frac{d\tilde{A}}{dx} u_0 \\ \tilde{p}_1 + \frac{2x}{\mathcal{R}} &= \tilde{B}(x) + \frac{d^2 \tilde{A}}{dx^2} \int_0^y u_0^2(\eta) d\eta\end{aligned}$$

Modèle très avantageux numériquement

Méthode numérique

On pose

$$\begin{aligned}\tilde{u} &= u_0 + \varepsilon u \\ \tilde{v} &= \varepsilon v \\ \tilde{p}_1 &= -\frac{2x}{\mathcal{R}} + \varepsilon p_1 + p_c\end{aligned}$$

Équations de couche limite généralisées

$$\begin{aligned}\frac{\partial \tilde{u}}{\partial x} + \frac{\partial \tilde{v}}{\partial y} &= 0 \\ \tilde{u} \frac{\partial \tilde{u}}{\partial x} + \tilde{v} \frac{\partial \tilde{u}}{\partial y} &= -\frac{\partial \tilde{p}_1}{\partial x} + \frac{1}{\mathcal{R}} \frac{\partial^2 \tilde{u}}{\partial y^2}\end{aligned}$$

Équations du cœur (modèle non linéaire)

$$\begin{aligned}\frac{\partial \tilde{u}_1}{\partial x} + \frac{\partial \tilde{v}_1}{\partial y} &= 0 \\ \tilde{u}_1 \frac{\partial \tilde{u}_1}{\partial x} + \tilde{v}_1 \frac{\partial \tilde{u}_1}{\partial y} &= -\frac{\partial \tilde{p}_1}{\partial x} + \frac{1}{\mathcal{R}} \frac{d^2 u_0}{dy^2} \\ \tilde{u}_1 \frac{\partial \tilde{v}_1}{\partial x} + \tilde{v}_1 \frac{\partial \tilde{v}_1}{\partial y} &= -\frac{\partial \tilde{p}_1}{\partial y}\end{aligned}$$

Conditions aux limites

$$\text{paroi} \quad : \quad \tilde{u} = 0 \quad ; \quad \tilde{v} = 0$$

Conditions de raccord

Conditions de raccord

Équations de continuité

$$\begin{aligned}\frac{\partial \tilde{u}_1}{\partial x} + \frac{\partial \tilde{v}_1}{\partial y} &= 0 \\ \frac{\partial \tilde{u}}{\partial x} + \frac{\partial \tilde{v}}{\partial y} &= 0\end{aligned}$$

d'où

$$\frac{\partial}{\partial x}(\tilde{u} - \tilde{u}_1) + \frac{\partial}{\partial y}(\tilde{v} - \tilde{v}_1) = 0$$

Le long d'une ligne (arbitraire) $y = y_c$, on impose

$$\tilde{v}(y_c) = \tilde{v}_1(y_c)$$

d'où les conditions à imposer pour les équations du cœur

$$\text{paroi inférieure} : \tilde{v}_1(y_l) = - \int_{y_l}^{y_c} \frac{\partial(\tilde{u} - \tilde{u}_1)}{\partial x} dy$$

$$\text{paroi supérieure} : \tilde{v}_1(y_u) = - \int_{y_u}^{y_c} \frac{\partial(\tilde{u} - \tilde{u}_1)}{\partial x} dy$$

On a posé

$$\begin{aligned}\tilde{u} &= u_0 + \varepsilon u \\ \tilde{v} &= \varepsilon v \\ \tilde{p}_1 &= -\frac{2x}{\mathcal{R}} + \varepsilon p_1 + p_c\end{aligned}$$

Solution dans le cœur

$$\begin{aligned}\tilde{u}_1 - u_0 &= \tilde{A}(x) \frac{du_0}{dy} \\ \tilde{v}_1 &= -\frac{d\tilde{A}}{dx} u_0 \\ \tilde{p}_1 + \frac{2x}{\mathcal{R}} &= \tilde{B}(x) + \frac{d^2\tilde{A}}{dx^2} \int_0^y u_0^2(\eta) d\eta\end{aligned}$$

$\tilde{B}(x)$ est ajusté à chaque pas pour respecter la conservation du débit dans le canal.

Calcul de \tilde{A}

Avec $\tilde{v}(y_\ell) = 0$, l'équation de continuité donne

$$\tilde{v}(y_c) = -\int_{y_\ell}^{y_c} \frac{\partial \tilde{u}}{\partial x} dy$$

On impose $\tilde{v}_1(y_c) = \tilde{v}(y_c)$ d'où

$$\tilde{v}_1(y_c) = -\int_{y_\ell}^{y_c} \frac{\partial \tilde{u}}{\partial x} dy$$

Or

$$\tilde{v}_1 = -\frac{d\tilde{A}}{dx} u_0$$

d'où

$$\boxed{\frac{d\tilde{A}}{dx} = \frac{1}{u_0(y_c)} \int_{y_\ell}^{y_c} \frac{\partial \tilde{u}}{\partial x} dy}$$

Cas I

$$L = L_0 \left[\frac{\mathcal{R}}{\mathcal{R}_0} \right]^{1/7}, \quad h = h_0 \left[\frac{\mathcal{R}}{\mathcal{R}_0} \right]^{-2/7}$$

$$L_0 = 2.236, \quad h_0 = -0.5$$

Cas II

$$L = L_0 \left[\frac{\mathcal{R}}{\mathcal{R}_0} \right]^{1/4}, \quad h = h_0 \left[\frac{\mathcal{R}}{\mathcal{R}_0} \right]^{-1/4}$$

$$L_0 = 2.236, \quad h_0 = -0.5$$

Cas III

$$L = L_0 \left[\frac{\mathcal{R}}{\mathcal{R}_0} \right]^{1/7}, \quad h = h_0 \left[\frac{\mathcal{R}}{\mathcal{R}_0} \right]^{-2/7}$$

$$L_0 = 0.707, \quad h_0 = -0.57$$

Cas IV

$$L = L_0 \left[\frac{\mathcal{R}}{\mathcal{R}_0} \right]^{1/4}, \quad h = h_0 \left[\frac{\mathcal{R}}{\mathcal{R}_0} \right]^{-1/4}$$

$$L_0 = 0.707, \quad h_0 = -0.57$$

Comparaisons aux développements réguliers

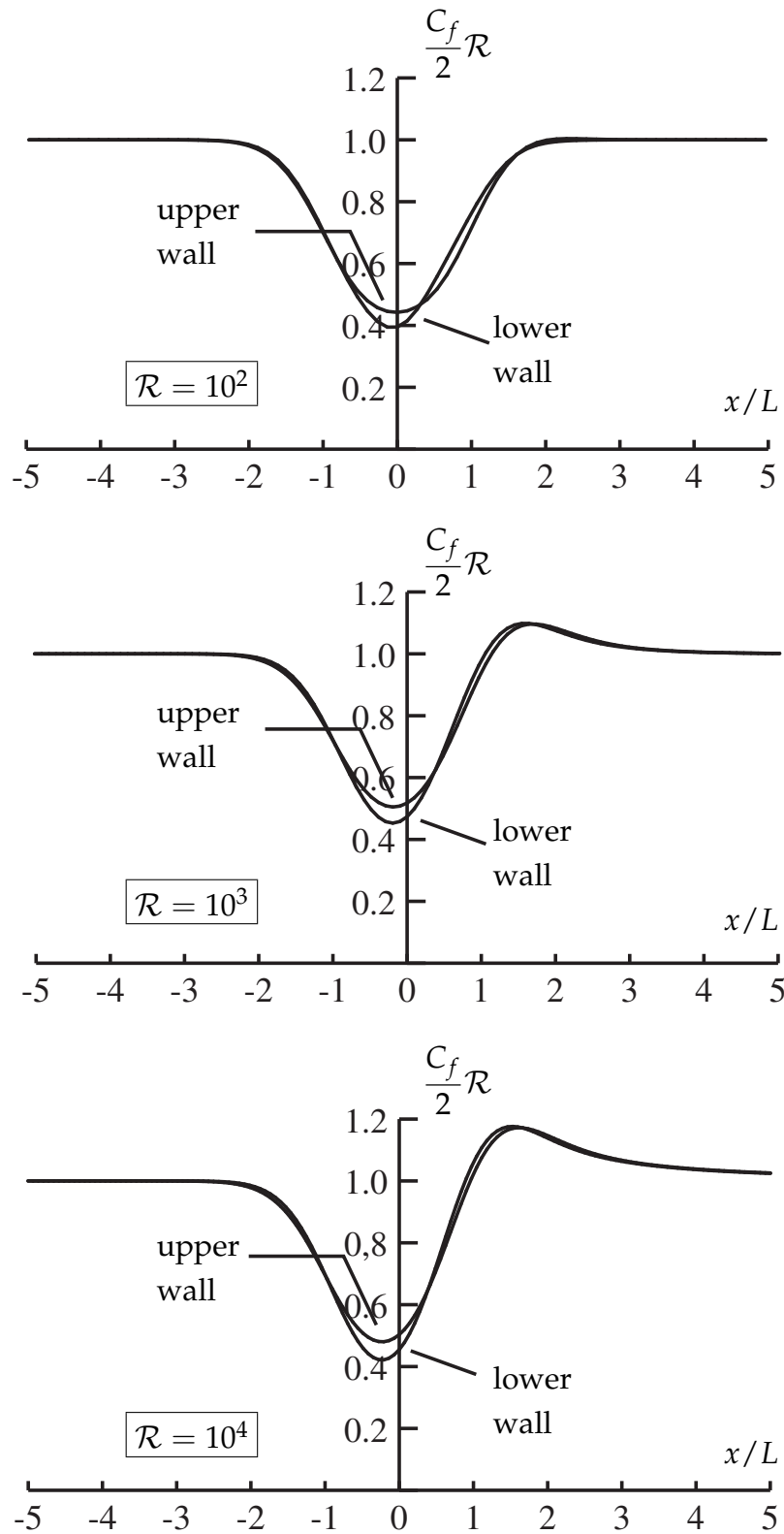


FIGURE 30 – Cas I

Comparaisons aux développements réguliers

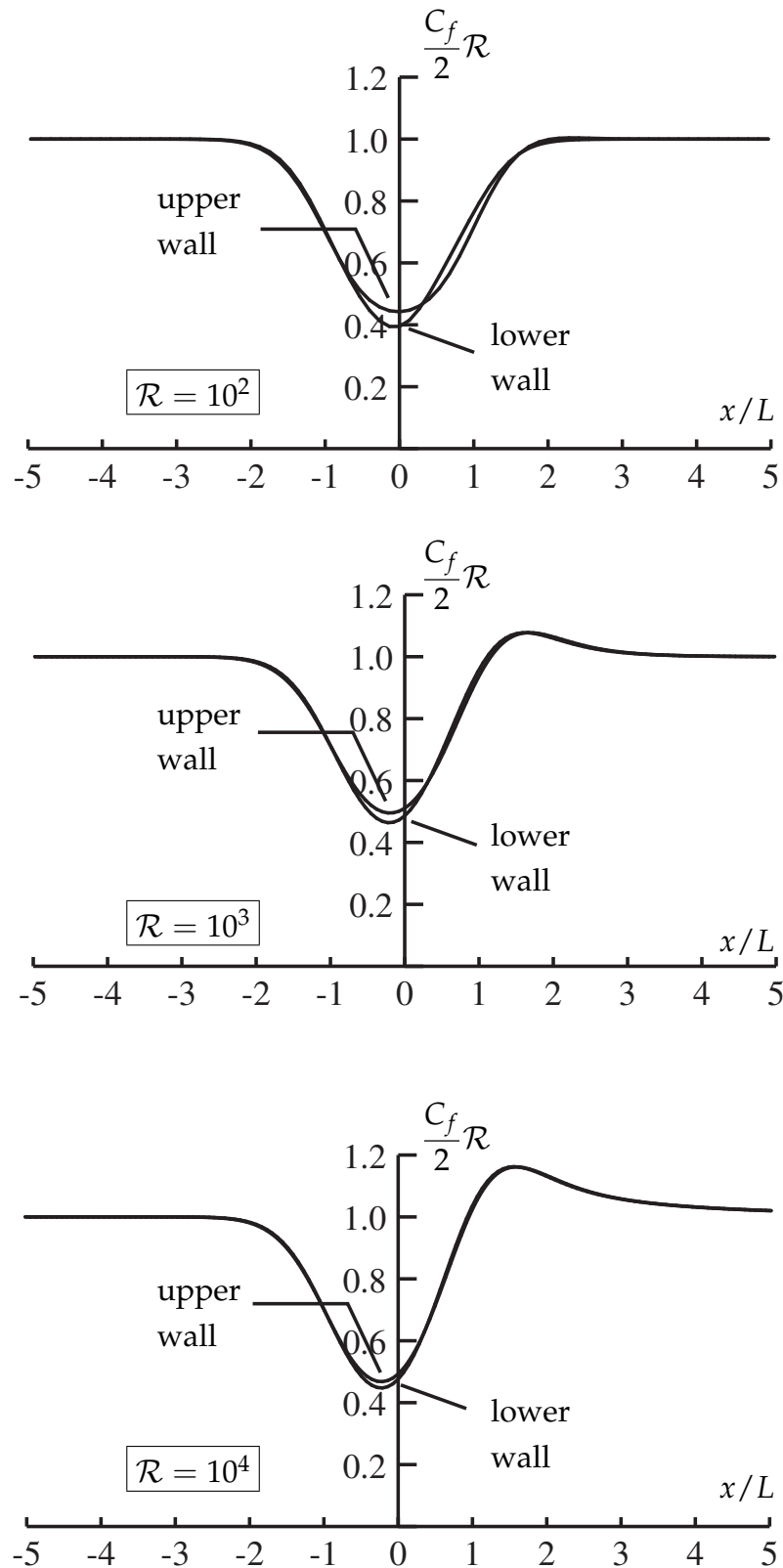


FIGURE 31 – Cas II

Comparaisons aux développements réguliers

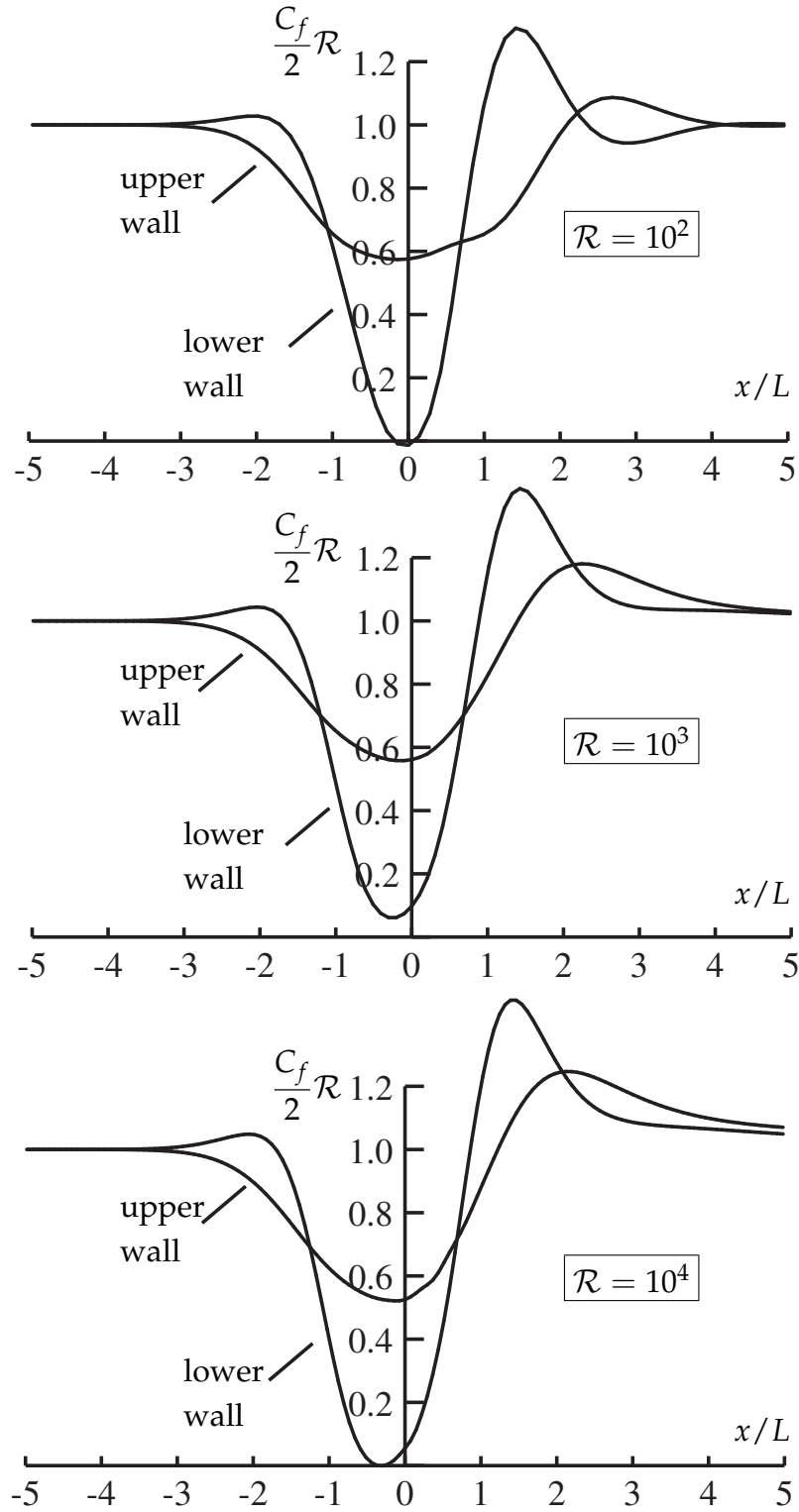


FIGURE 32 – Cas III

Comparaisons aux développements réguliers

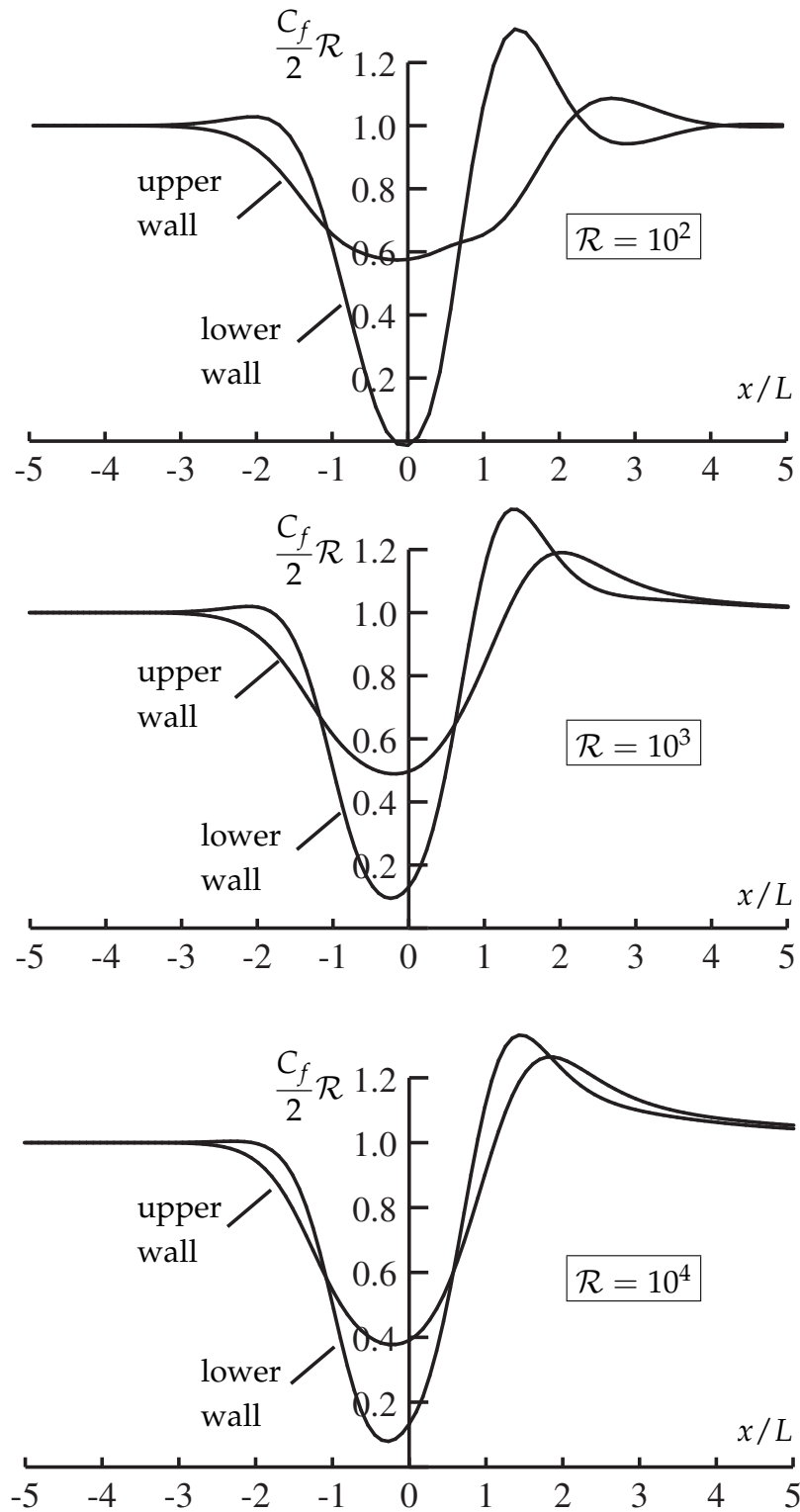


FIGURE 33 – Cas IV

Résultats

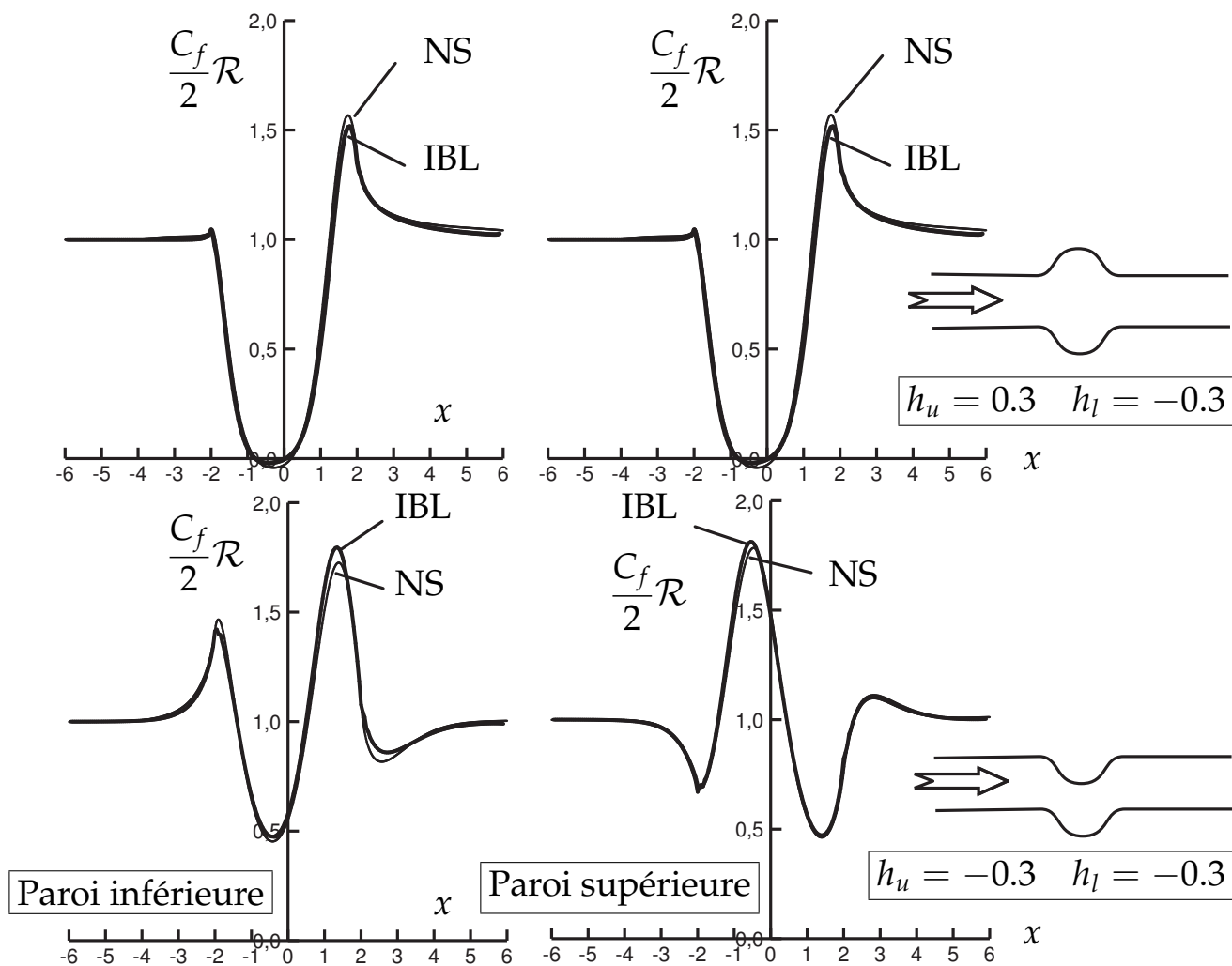


FIGURE 34 – Déformations symétrique et antisymétrique des parois. $\mathcal{R} = 1000$.
 NS = Navier-Stokes, IBL = Couche limite interactive

Déformation des parois

$$\begin{aligned} \text{Paroi inférieure} \quad F &= \frac{h_l}{2} \left(1 + \cos \frac{2\pi x}{L} \right) \\ \text{Paroi supérieure} \quad G &= -\frac{h_u}{2} \left(1 + \cos \frac{2\pi x}{L} \right) \\ -2 \leq x \leq 2 \quad L &= 4 \end{aligned}$$

Écoulement produit par un coude

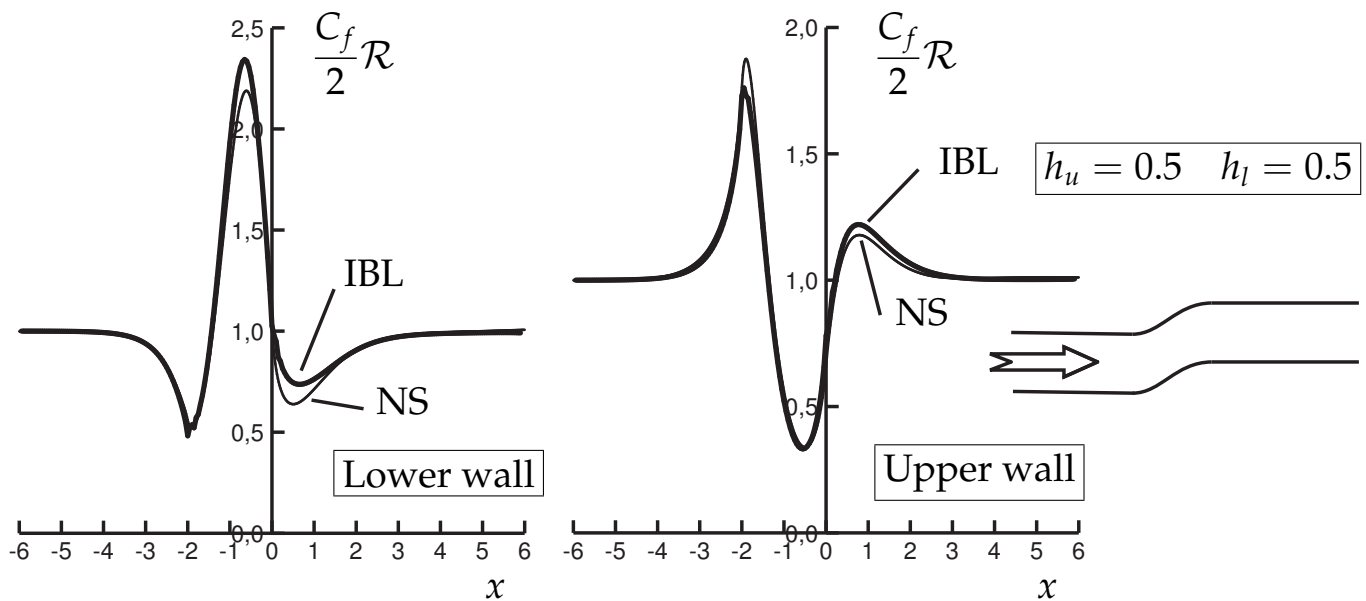


FIGURE 35 - Écoulement produit par un coude. $\mathcal{R} = 1000$. NS = Navier-Stokes , IBL = Couche limite interactive

Déformation des parois

$$\begin{aligned}
 \text{Paroi inférieure} \quad F &= \frac{h_l}{2} \left(1 + \cos \frac{2\pi x}{L} \right) \\
 \text{Paroi supérieure} \quad G &= -\frac{h_u}{2} \left(1 + \cos \frac{2\pi x}{L} \right) \\
 -2 \leq x \leq 2 \quad L &= 4
 \end{aligned}$$

Élargissement - Rétrécissement

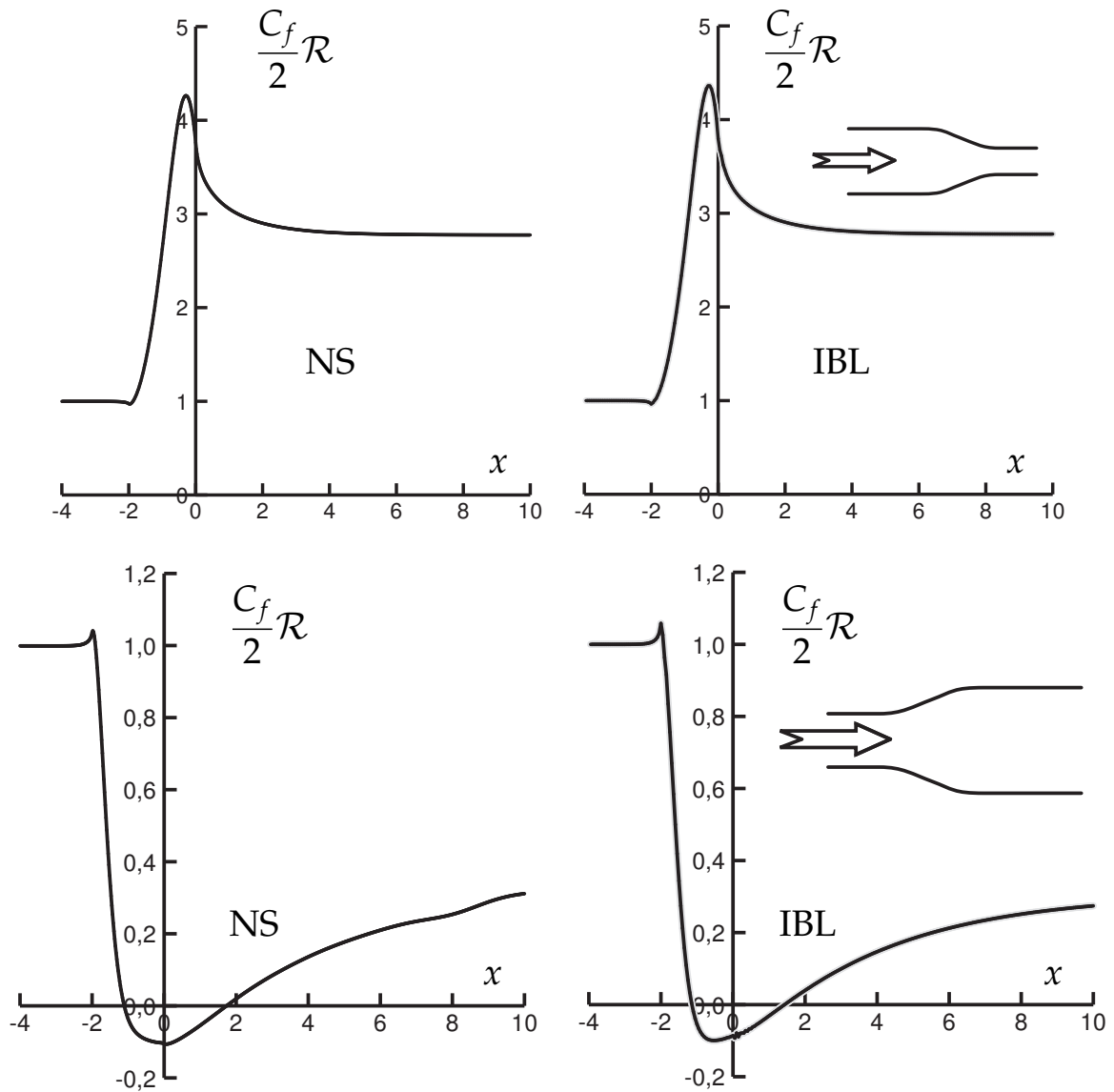


FIGURE 36 – *Contraction et élargissement. $\mathcal{R} = 1000$.*

$$\begin{aligned}
 \text{Paroi inférieure} \quad F &= \frac{h_l}{2} \left(1 + \cos \frac{2\pi x}{L} \right) \\
 \text{Paroi supérieure} \quad G &= -\frac{h_u}{2} \left(1 + \cos \frac{2\pi x}{L} \right) \\
 -2 \leq x \leq 0 \quad L &= 4
 \end{aligned}$$

Contraction : $h_l = 0,2 \quad h_u = -0,2$

Élargissement $h_l = -0,4 \quad h_u = 0,4$

Écoulement dans un coude

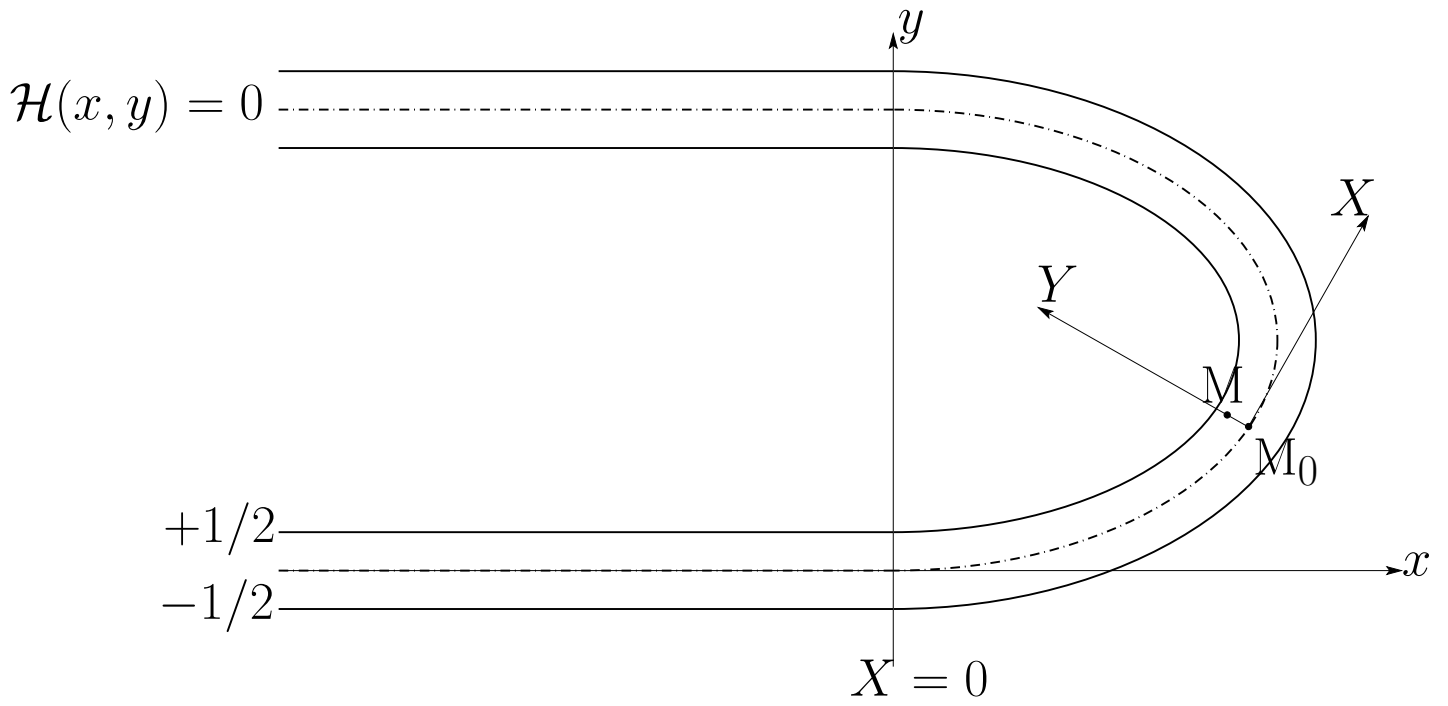


FIGURE 37 – *Géométrie de la conduite*

Écoulement dans un coude

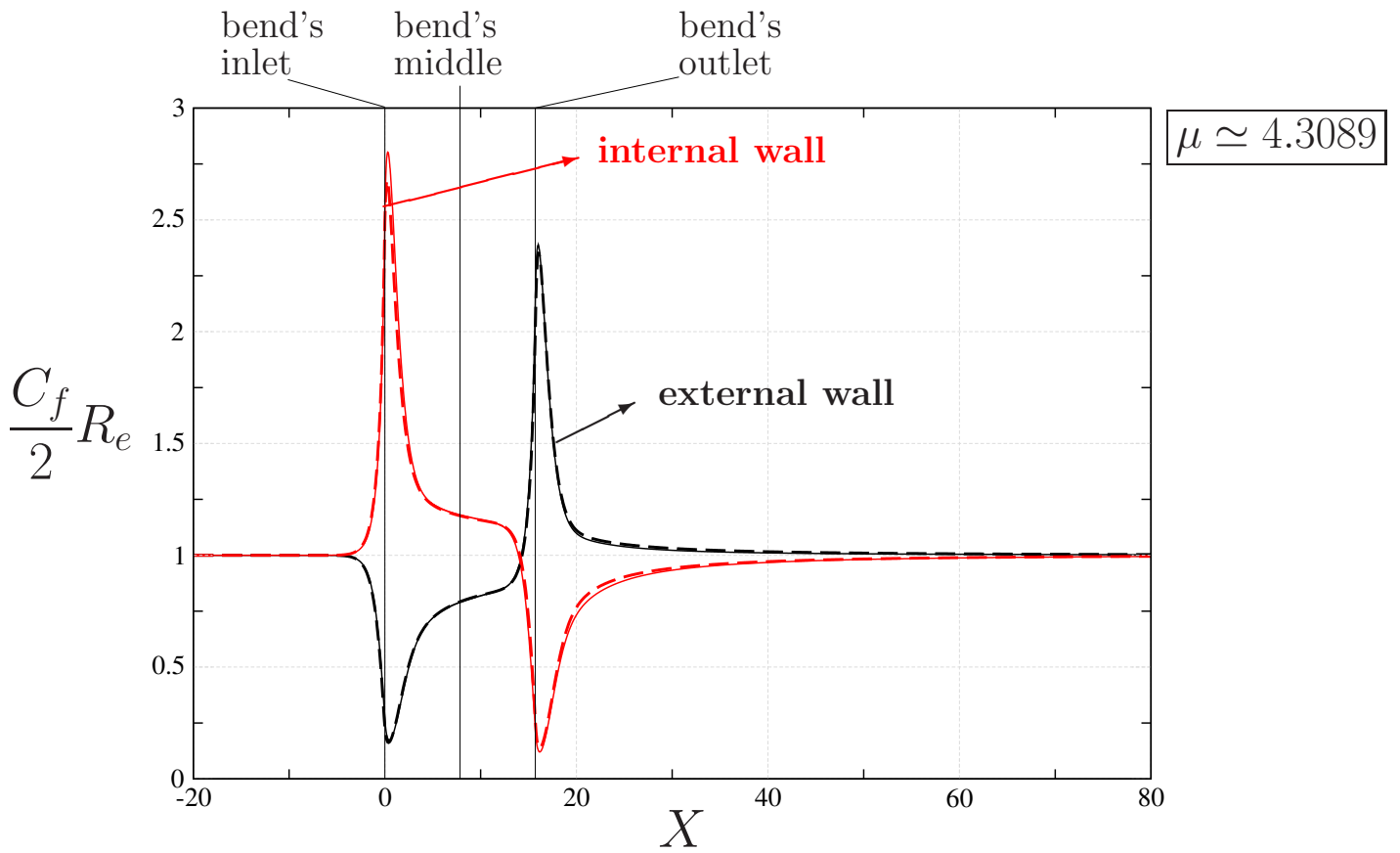


FIGURE 38 - Coefficient de frottement $\frac{C_f}{2} R_e$. $R_c = 5$, $R_e = 10000$, $\mu = R_e^{1/3} / R_c$
ligne continue : Navier-Stokes, pointillé : GIBL

Écoulement dans un coude

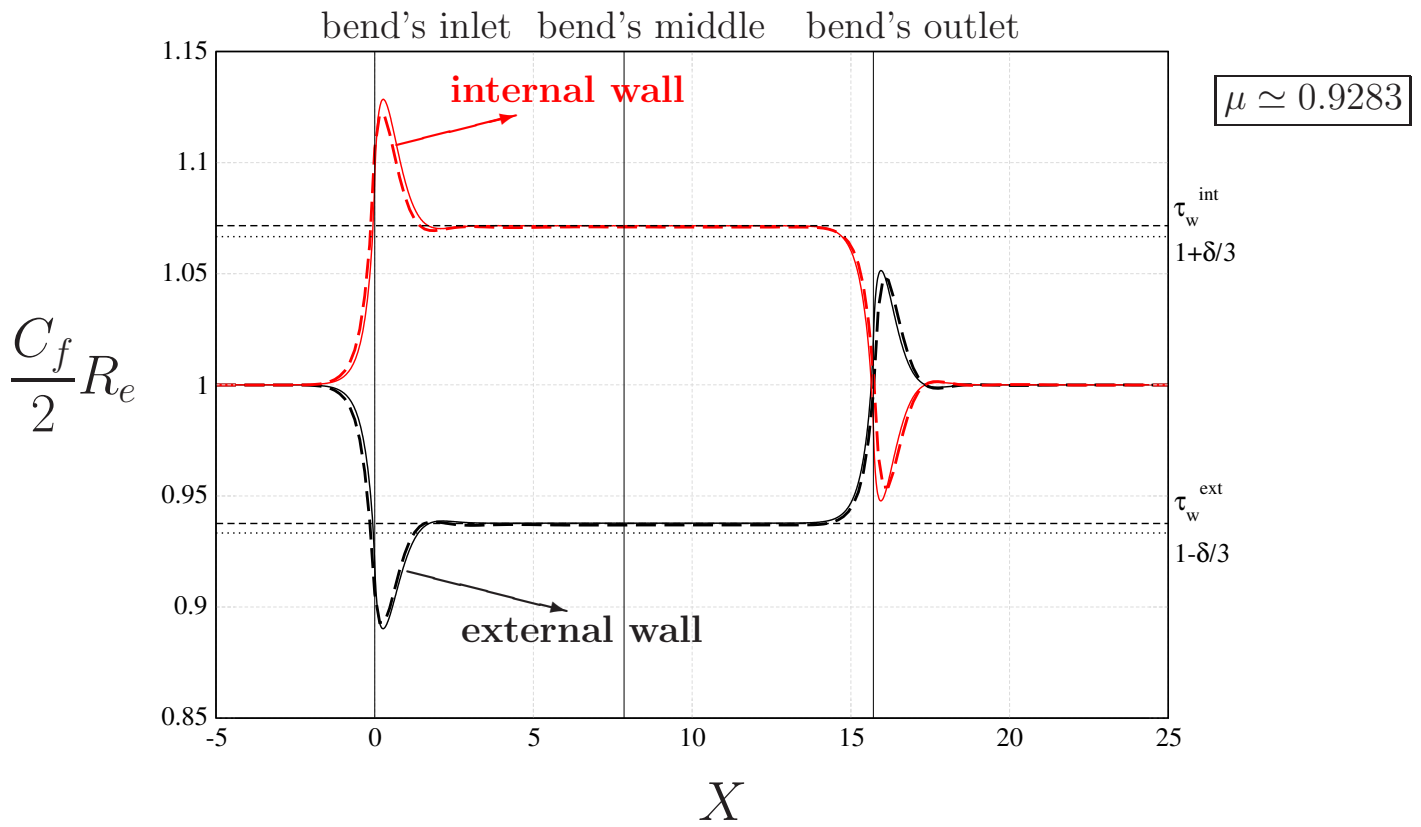


FIGURE 39 - Coefficient de frottement $\frac{C_f}{2} R_e$. $R_c = 5$, $R_e = 100$, $\mu = R_e^{1/3} / R_c$
ligne continue : Navier-Stokes, pointillé : GIBL

Écoulement dans un coude

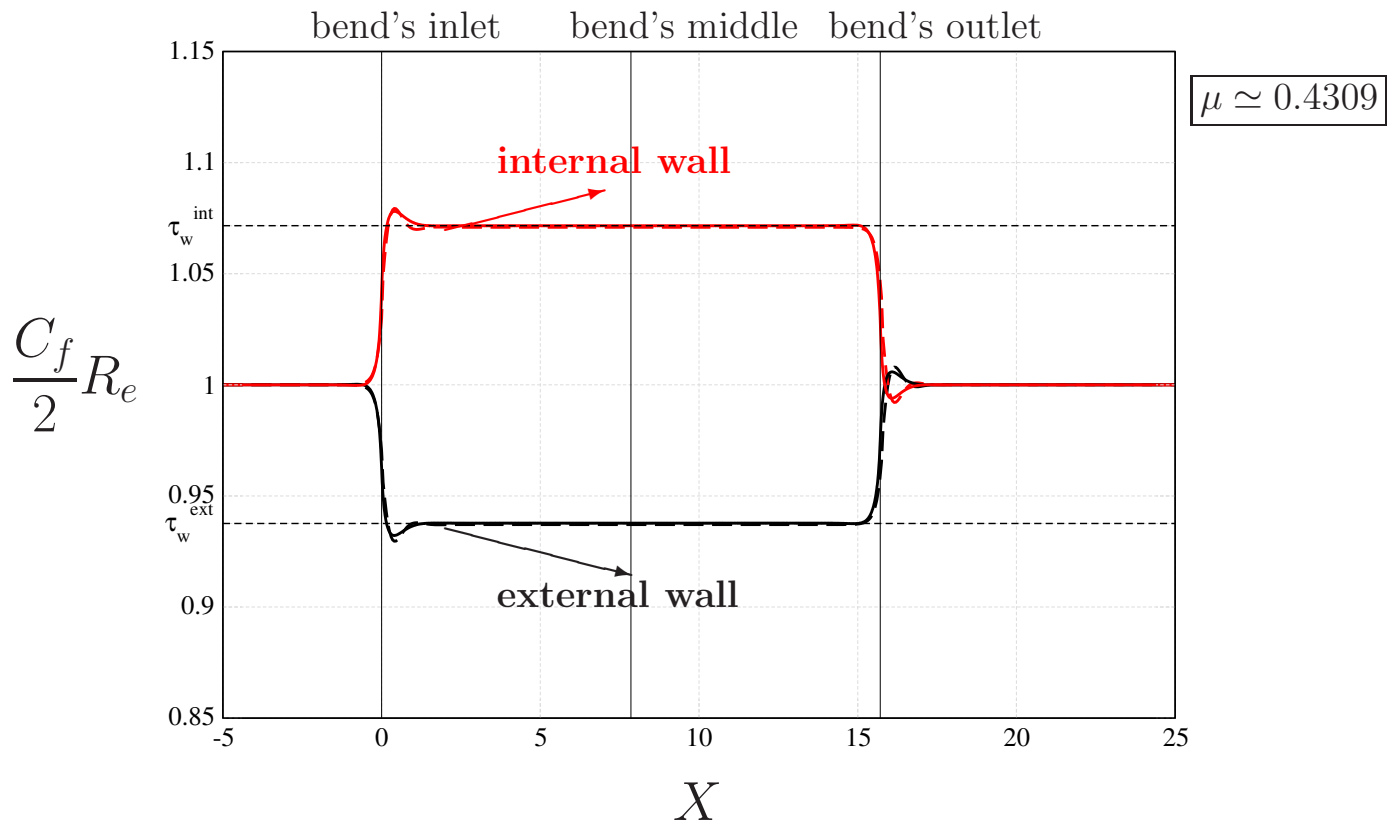


FIGURE 40 - Coefficient de frottement $\frac{C_f}{2} R_e$. $R_c = 5$, $R_e = 10$, $\mu = R_e^{1/3} / R_c$
ligne continue : Navier-Stokes, pointillé : GIBL

Écoulement dans un coude

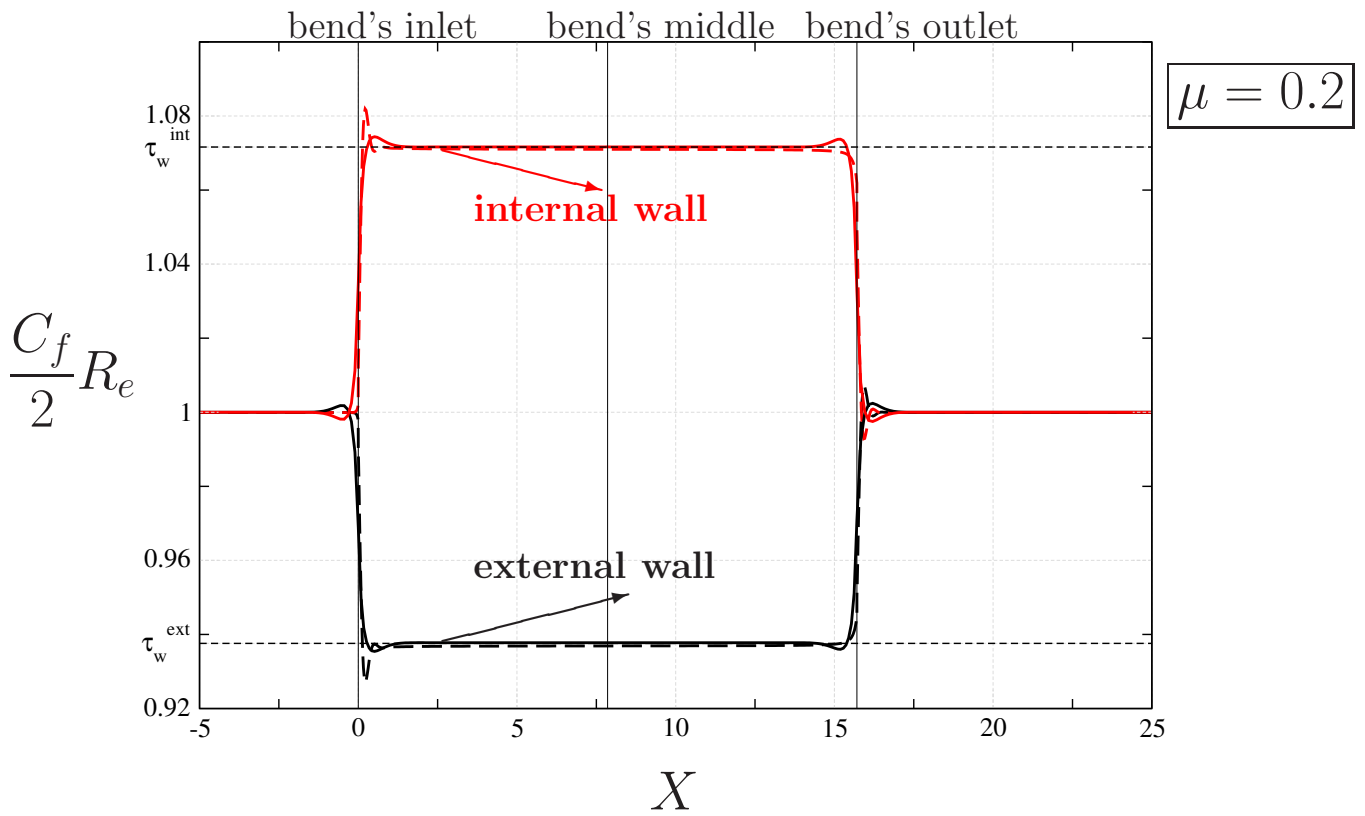


FIGURE 41 – Coefficient de frottement $\frac{C_f}{2} R_e$. $R_c = 5$, $R_e = 1$, $\mu = R_e^{1/3} / R_c$
ligne continue : Navier-Stokes, pointillé : GIBL

Écoulement dans un coude

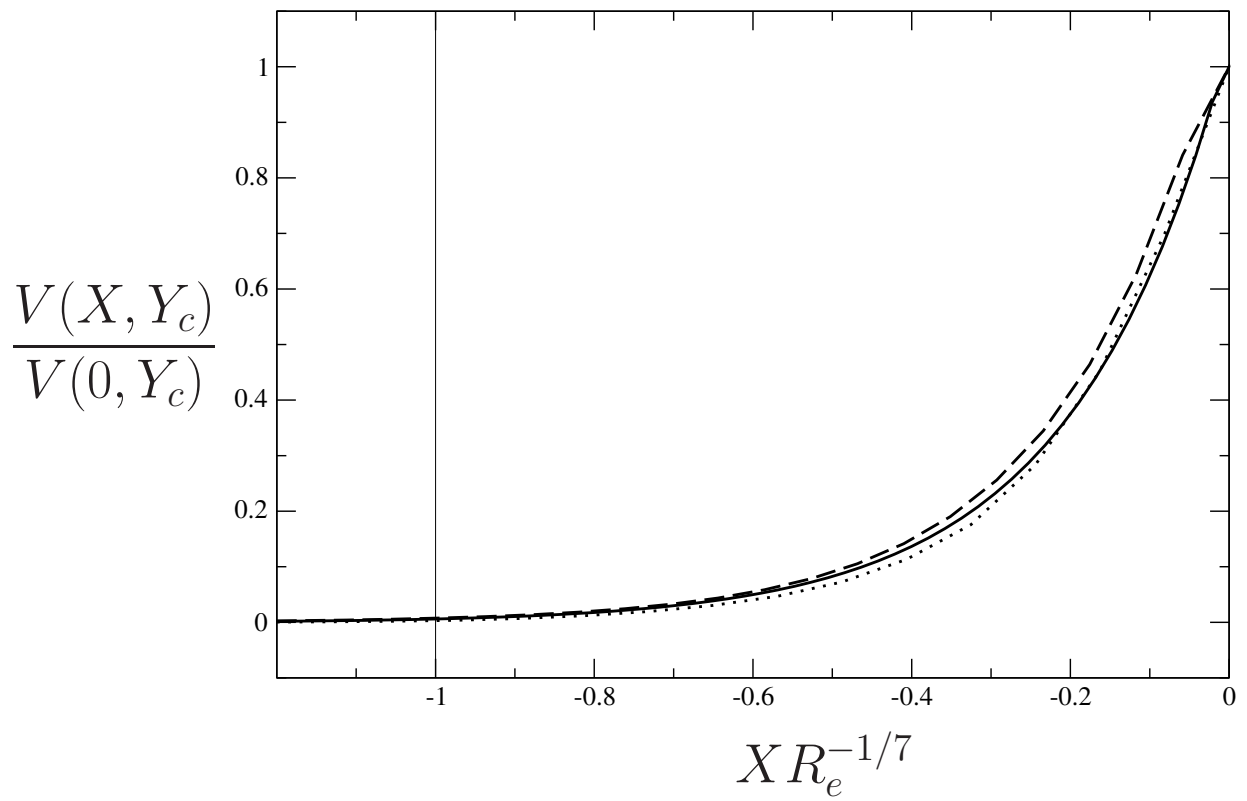


FIGURE 42 - *Étude de l'influence amont.* $100 \leq R_e \leq 10000$, $R_c = 5$

Conclusion

- Justification rationnelle des méthodes de couplage fort grâce aux développements généralisés
- Approximation uniformément valable. Pas de problème de raccord asymptotique.
- Prise en compte des conditions aux limites exactes
- Extension de la validité des résultats à des « petits paramètres qui ne sont pas petits »